

数据的多尺度表达及一类正交变换的构造*

丁琦¹ 齐东旭^{1,2}

¹(中国科学院计算技术研究所 CAD 开放研究实验室 北京 100080)

²(北方工业大学 CAD 研究中心 北京 100041)

E-mail: J. Ding@write.me.com QiDongxu@unet.net.cn

摘要 着重研究基于{0,1}码变量表示的函数描述问题。首先,举例说明在多尺度分析观点下,信号处理中某些函数定义的新方法;进而提出“坐标分量分离方法”,并由此发现了平面区域上点集坐标数值的自相似结构;在揭示了如此自相似结构的基础上,构造了高维单纯形上的正交完备的二值函数系统;丰富与推广了 Rademacher 函数及 Walsh 函数的理论及应用。

关键词 多尺度分析,正交变换,坐标分量分离。

中图分类号 TP391

信息以数据形式表达,从而便于记录、存储、处理与传输,数据又以数的表达方式为本。关于数的本质的认识、数的表达方式等成果展现了人类认识自然的漫长而艰难的历程。

在古典分析中讨论的函数,并不强调其自变量取值以何种记数形式。在不特别申明时都约定俗成地认为十进制是自然而方便的记数方式。然而,当我们在数字计算机上作信号处理时,几乎任何数据皆转化成为{0,1}码。将信息与{0,1}码联系起来,信息处理转化为{0,1}码的操作,这就是数字化技术的核心内容。^[1]

对于任意的非负整数 p ,总可以找到 $e_0 \in \{0, 1, \dots, a-1\}$,使 $p = p_1 a + e_0$,有如此性质的最小的数字符号集合 $S = \{0, 1, \dots, a-1\}$ 称为模 a 的完全剩余类。据此,经有限步得到

$$p = e_s a^s + e_{s-1} a^{s-1} + \dots + e_1 a + e_0.$$

其中 a 称为基, p 亦可以简记为

$$p = (e_s e_{s-1} \dots e_1 e_0).$$

通常,当取 $a=2$ 时, $e_j \in S = \{0, 1\}$; $a=3$ 时, $e_j \in S = \{0, 1, 2\}$ 或 $\{0, 1, -1\}$; $a=10$ 时, $e_j \in S = \{0, 1, \dots, 9\}$ 。实际上,取 a 为负整数也是可以的,当取负整数 a 作为基时,用 $|a|$ 个数字符号 $\{0, 1, \dots, |a|-1\}$ 就可以把所有整数表示出来。值得注意的是,基的选取与相应的数字符号集合 S 中元素的个数之间并不是必然相关的。打破这个限制,我们可以首先认为数字符号集合 S ,因数字化技术的方便,仅有两个元素,即 $S = \{0, 1\}$ 。至于基,它可以相当宽松,甚至可以取其为虚数。^[2]这样一来,本文讨论的{0,1}码技术,并非仅指二进制技术,虽然二进制技术仍然是它的主要内容。

我们讨论的变量 t ,常常写成如下形式;如果 $0 \leq t < 1$,则

$$t = 0. e_1 e_2 \dots e_k \dots, \quad e_j \in \{0, 1\}, \quad j = 0, 1, 2, \dots \quad (1)$$

本文着重研究式(1)基于{0,1}码变量表示的函数描述问题,首先举例说明在多尺度分析观点之下,信号处理中某些函数定义的新方法;进而提出“坐标分量分离方法”,并由此发现了平面区域上点集坐标数值的自相似结构;进而,在揭示了自相似结构的基础上,构造了高维单纯形上的正交完备的二值函数系统;丰富与推广了 Rademacher 函数及 Walsh 函数的理论及应用。

1 函数按自变量{0,1}码表示的构造性定义

用{0,1}码的变量表达形式(1),可以定义各种各样的复杂函数,这样给出的许多种函数在数字信号处理中有特殊的用途。

* 本文研究得到国家自然科学基金资助。作者丁琦,1971年生,博士生,主要研究领域为计算机辅助几何设计,计算机图形学,图象处理。齐东旭,1940年生,教授,博士生导师,主要研究领域为计算机辅助几何设计,计算机图形学,数值分析,图象处理。

本文通讯联系人:丁琦,北京 100080,中国科学院计算技术研究所 CAD 开放研究实验室

本文 1998-02-28 收到原稿,1998-04-20 收到修改稿

$$(1) f_0(t) = 1, f_k(t) = e_k, k = 1, 2, \dots$$

实际上, $f_k(t) = (R_k(t) + 1)/2, k = 1, 2, \dots$. 其中 $R_k(t)$ 为 Rademacher 函数. 有时, $\{f_k(t)\}$ 在应用中更直接方便.

$$(2) g_0(t) = e_0, g_k(t) = e_{k-1} \oplus e_k, k = 1, 2, \dots$$

其中 \oplus 表示模 2 加法.

$$(3) h_0(t) = e_0, h_k(t) = e_0 \oplus e_1 \oplus \dots \oplus e_k, k = 1, 2, \dots$$

$h_k(t)$ 可以表示成 Walsh 函数的线性组合, 例如, $h_k(t) = (Wal_j(t) + 1)/2, k$ 与 j 的对应关系与 Walsh 函数的次序排列规定有关.

$$(4) l_0(t) = e_0, l_k(t) = \frac{1}{k+1}(e_0 \oplus e_1 \oplus \dots \oplus e_k), k = 1, 2, \dots$$

图 1 为前 4 个函数的示意图.



图1 一个多尺度函数的自相似结构示意图

(5) 著名的 Rademacher 函数可以表示为 $R_n(t) = \text{sgn}(\sin 2^n \pi t)$, 其中 sgn 表示符号函数. 它亦可表示为

$$R_c(t) = 1, 0 \leq t < 1$$

$$R_1(t) = \begin{cases} 1, & 0 \leq t < \frac{1}{2} \\ -1, & \frac{1}{2} \leq t < 1 \end{cases}$$

$$R_n(t) = R_n(t+1), R_n(t) = R_1(2^{n-1}t)$$

如果注意变量 t 的 $\{0, 1\}$ 码表示方式(1), 则 Rademacher 函数可以表述成^[5,4]

$$R_0(t) = 1, R_k(t) = (-1)^{\uparrow e_{k-1}}, t \in [0, 1], k = 1, 2, \dots$$

这里 $A \uparrow \alpha$ 表示 A^α (下同).

在上面所举的典型例子中, 我们强调的共同之处在于自变量的表达形式(1). 由于 $\{e_k\}$ 反映了二值结构和尺度特性, 因而它在数字信号处理中有特别的优越性.

2 重心坐标系之下多尺度细化及坐标分量分离方法

$[0, 1]$ 区间上的二值正交函数在信号处理中有重要的应用. 对高维情形, 张量积区域上的正交函数族的定义可以从一维情况类比推广过去.^[5]但是, 对单纯形区域上正交函数族的定义, 却不是简单类比能够完成的. 以平面三角域上的 Walsh 函数族的定义来说, 首见于文献[6], 它给出了 Hadamard 次序的定义. 之后, 关于 Paley 次序的定义在文献[7, 8]中给出. 本文继续研究这一问题, 强调 $\{0, 1\}$ 码表示函数及式(1)的作用.

我们采用重心坐标. 为此, 令三角形区域 T 为坐标三角形, 对任意 $P \in T$, 记 P 的重心(面积)坐标为 $(u, v, w), u \geq 0, v \geq 0, w \geq 0, u + v + w = 1$. 将 3 个坐标的数值写成 $\{0, 1\}$ 码, 这里是二进制形式

$$u = 0.u_0u_1u_2\dots, v = 0.v_0v_1v_2\dots, w = 0.w_0w_1w_2\dots \quad (2)$$

这里, $u_j, v_j, w_j \in \{0, 1\}$.

下面我们考虑不同尺度之下平面上点的所谓坐标分离问题. 这里所说的坐标分离是指, 我们在表达式(2)中首先取 u_0, v_0, w_0 , 由它们作成的三元组 (u_0, v_0, w_0) 可以认为是 (u, v, w) 的第 1 次近似, 简写成紧凑形式 $u_0v_0w_0$; 接着取 u_1, v_1, w_1 , 将三元组 (u_1, v_1, w_1) 写成紧凑形式 $u_1v_1w_1$; 依次类推.

对于坐标三角形上任意一个点 $P = (u, v, w)$ 来说, 一旦取定之后, 其由形式(2)给出的 u_j, v_j, w_j 都是确定的 0 与 1 的排列. 且根据 P 在坐标三角形 T 上的位置不同, u_j, v_j, w_j 的排列也有所不同. 但若将 T 做相似的子分割, 则可以发现在子区域上的 u_j, v_j, w_j 分布的规律. 为说明这一规律, 首先连结 T 的各边中点, 得 4 个小三角形, 记为 T_1, T_2, T_3, T_4 (如图 2(a)所示). 在这个分割之下, 当 $P \in T_1$ 时, $u_0v_0w_0 = 100$; 当 $P \in T_2$ 时, $u_0v_0w_0 = 010$; 当 $P \in T_3$ 时, $u_0v_0w_0 = 001$; 当 $P \in T_4$ 时, $u_0v_0w_0 = 000$ (如图 2(b)所示).

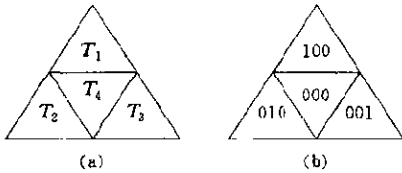


图2 三角形区域第1次子分割的 $u_0v_0w_0$ 分布

当我们考察 $u_1v_1w_1$ 的分布时,将在第1次子分割的基础上作第2次分割,容易验证,在第2次子分割下,相应于图3(a)所示分割次序的 $u_1v_1w_1$ 分布为如图3(b)所示.

进而观察 $u_2v_2w_2$ 分布,这时 T 被分割为64个子区域.将图3(b)的分布填在图2(a)中 T_1, T_2, T_3 所示区域上,而在 T_4 上呈现图3(b)中数值的反码.一般说来,在第 j 次分割之下,有 $u_{j-1}v_{j-1}w_{j-1}$ 的分布.为了得到在第 j 次分割之基础上的 $u_jv_jw_j$ 分布,要对第 j 次分割

再作细化,再把 $u_{j-1}v_{j-1}w_{j-1}$ 的分布数据填到如图2(a)所示的 T_1, T_2, T_3 上,而 T_4 则是 $u_{j-1}v_{j-1}w_{j-1}$ 分布数值的反码(当 $j=2$ 时,如图4所示).

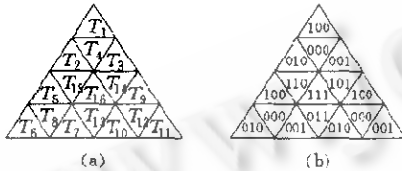


图3 三角形区域第2次子分割的 u_1, v_1, w_1 分布

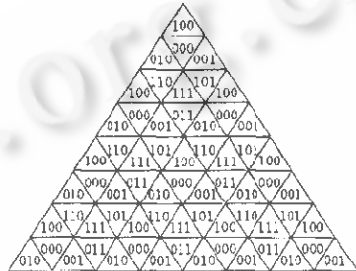


图4 三角形区域第3次子分割的 $u_2v_2w_2$ 分布

3 图象处理中一类正交二值函数新的构造性定义

由前述的坐标分离方式,利用表达式(2),我们容易定义三角域上的 Rademacher 函数.为此,引入记号

$$\xi_j = (-1)^{\uparrow u_j}, \eta_j = (-1)^{\uparrow v_j}, \zeta_j = (-1)^{\uparrow w_j},$$

这样, Rademacher 函数可以表示为

$$R_0(u, v, w) = 1,$$

$$R_1(u, v, w) = \eta_0 \zeta_0, R_2(u, v, w) = \xi_0 \zeta_0, R_3(u, v, w) = \xi_0 \eta_0.$$

如果 $j(m)$ 表示 j 之后连续写 m 个零的数码序列,那么,对于 $m=0, 1, 2, \dots$, 有

$$R_{j(m)}(u, v, w) = \eta_m \zeta_m, R_{2(m)}(u, v, w) = \xi_m \zeta_m, R_{3(m)}(u, v, w) = \xi_m \eta_m.$$

对 $m=0.1$ 的情形如图5所示.这里,黑色表示该区域上函数值定义取1,白色表示函数值取0.



图5 三角域上的 Rademacher 函数

下面定义三角域上的 Walsh 函数.所谓 Walsh 函数,是由可数无穷多个函数组成的函数族,但如何对这个函数族中的函数进行排序,是理论研究与实际应用都十分关心的问题.最早在文献[6]中通过 Hadamard 矩阵给出了三角域上的 Walsh 函数定义,那便是所谓 Hadamard 次序的 Walsh 函数.它的生成过程如下.

令
$$H_2 = \begin{pmatrix} 1 & 1 \\ 1 & -1 \end{pmatrix}, H_{2^k+1} = H_{2^k} \otimes H_2, k=1, 2, \dots$$

其中 \otimes 表示矩阵的 Kronecker 乘积.按取定的 2^k 阶 Hadamard 矩阵的任意行(列),将1或-1向三角域子分割的每个子域,以图2(a)($k=2$)或图3(a)($k=4$)所示的次序做分配.从而完成三角域上 Hadamard 次序的 Walsh 函数的定义.问题是,相应于单变量情形, Paley 次序如何向三角域推广.我们根据前面 Rademacher 函数的表达结果,可以利用 Rademacher 函数写出 Paley 次序的 Walsh 函数.为此,对任意非负整数 n ,把它写成四进制形式

$$n = (\dots n_p n_{p-1} \dots n_2 n_1), n_j \in \{0, 1, 2, 3\}$$

注意十进制与四进制的对应关系

- 1, 2, 3, 4, 5, 6, 7, 8, 9, ..., 20, 21, 22, 23, 24, 25, ...
- 1, 2, 3, 10, 11, 12, 13, 20, 21, ..., 110, 111, 112, 113, 120, 121, ...

得出三角域上 Paley 次序的 Walsh 函数 ($W_k = W_k(u, v, w), k=0, 1, 2, \dots$), 列表如下.

表 1 三角域上用 Rademacher 函数表示的 Walsh 函数

W_0	W_1	W_2	W_3	W_4	W_5	W_6	W_7	W_8	W_9	W_{10}	W_{11}	W_{12}	W_{13}
R_0	R_1	R_2	R_3	R_{10}	$R_{10}R_1$	$R_{10}R_2$	$R_{10}R_3$	R_{20}	$R_{20}R_1$	$R_{20}R_2$	$R_{20}R_3$	R_{30}	$R_{30}R_1$
W_{14}	W_{15}	W_{16}	W_{17}	W_{18}	W_{19}	W_{20}	W_{21}	W_{22}	W_{23}	W_{24}	W_{25}	W_{26}	W_{27}
$R_{30}R_2$	$R_{30}R_3$	R_{100}	$R_{100}R_1$	$R_{100}R_2$	$R_{100}R_3$	$R_{100}R_{10}$	$R_{100}R_{10}R_1$	$R_{100}R_{10}R_2$	$R_{100}R_{10}R_3$	$R_{100}R_{100}$	$R_{100}R_{100}R_1$	$R_{100}R_{100}R_2$	$R_{100}R_{100}R_3$

它的一般表达式为

$$W_n(u, v, w) = \prod_{i=1}^n R_{n_i(i-1)}(u, v, w), n=0, 1, 2, \dots$$

其中 $n = (n_j n_{j-1} \dots n_2 n_1)_4, n_i = \{0, 1, 2, 3\}, n_j \neq 0$ 且当 $i > j$ 时, $n_i = 0$. 它的前 16 个函数示于图 6 中.

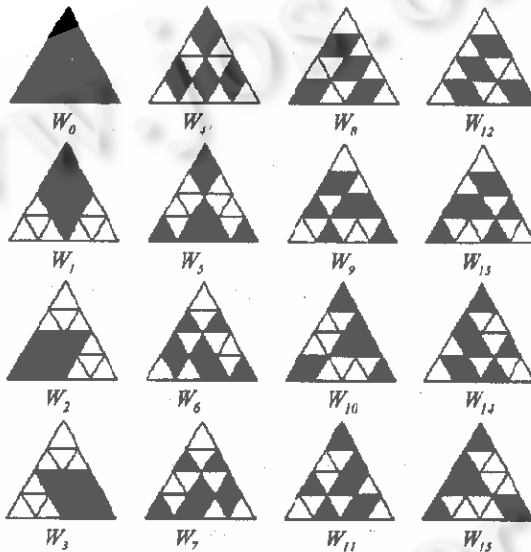


图 6 三角域上的 Paley 次序的前 16 个 Walsh 函数

参考文献

- 1 尼葛洛庞帝. 数字化生存. 海口:海南出版社,1997
(Negroponte N. Being Digital. Haikou: Hainan Publishing House, 1997)
- 2 Katai I, Szabo J. Canonical number system for complex integers. Acta Scientiarum Mathematicarum, 1975,37,255~260
- 3 柳重塔. 正交函数及其应用. 北京:国防工业出版社,1982
(Liu Chong-kan. Orthogonal Function and Its Application. Beijing: National Defense Industry Publishing House, 1982)
- 4 郑维行, 苏维宜, 任福贤. 沃尔什函数理论与应用. 上海:上海科技出版社,1983
(Zheng Wei-xing, Su Wei-yi, Ren Fu-xian. Walsh Function Theory and Its Application. Shanghai: Shanghai Science and Technology Publishing House, 1983)
- 5 哈尔姆斯. 序率理论基础与应用. 北京:人民邮电出版社,1980
(Harmuth H F. Sequency Theory Foundations and Applications. Beijing: People's Post and Telecommunications Publishing House, 1980)
- 6 Feng Yu-yu, Qi Dong-xu. On the Haar and Walsh system on a triangle. Journal of Computational Mathematics, 1983,1(3), 223~232
- 7 齐东旭. 三角域上的 Walsh 函数. 科学通报,1988,33(9),715~716
(Qi Dong-xu. Walsh function on the triangular area. Chinese Science Bulletin, 1988,33(9),715~716)

- 8 齐东旭. 一类自相似结构及 Walsh 函数新的定义. 数学年刊, 1991, 12(增刊 A), 103~105
(Qi Dong-xu. New definition for a kind of self-similar structure and Walsh function. Chinese Annals of Mathematics, 1991, 12 (Supplement A), 103~105)

Multi-scale Expression of Data and Construction of a Kind of Orthogonal Transformation

DING Wei¹ QI Dong-xu^{1,2}

¹(CAD Laboratory Institute of Computing Technology The Chinese Academy of Sciences Beijing 100080)

²(CAD Research Center North China University Beijing 100041)

Abstract In this paper, the authors mainly discuss about how to express functions based on $\{0,1\}$ code. At first, the examples are given to explain a new method in signal processing, in which functions are defined from the viewpoint of multi-scale analysis. Then the authors present "coordinate left separate" method, discover self-similar structure of points set on plain area; based on this self-similar structure, construct orthogonal complete 2-value function system of high-dimension simplicity; enrich and extend the theory and application of Rademacher function and Walsh function.

Key words Multi-scale analysis, orthogonal transformation, coordinate left separate.